

Rechnerarithmetik

Vorlesung im Sommersemester 2008

Eberhard Zehendner

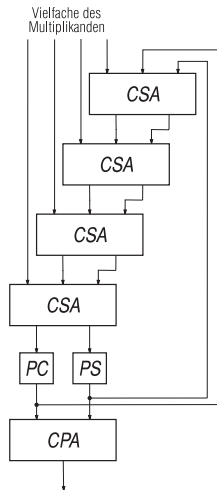
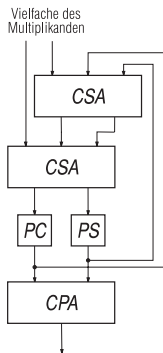
FSU Jena

Thema: Parallele Multiplizierer

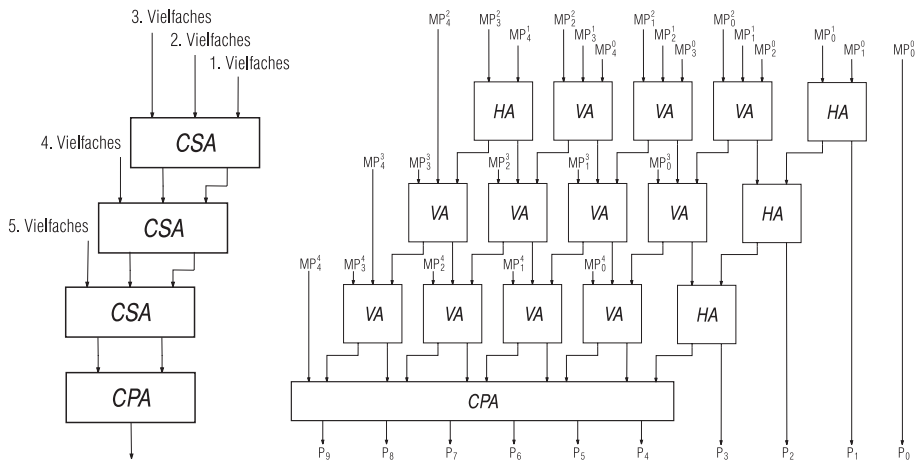
Parallele Multiplizierer mit CSA

In parallelen Multiplizierern werden Teilprodukte simultan erzeugt und akkumuliert; dies geschieht in der Regel mit Hilfe mehrerer CSA.

Im Extremfall werden alle Teilprodukte simultan erzeugt und in einer nicht-iterativen CSA-Struktur mit abschließendem CPA akkumuliert; es kann dann ein sehr schneller CPA benutzt werden, da dessen Kosten gering sind im Vergleich zum Gesamtaufwand des Multiplizierers.



Akkumulation im Array-Multiplizierer



Vergleich von Array-Multiplizierern

| $l = m$ | CPA | t | a | $a \times t \times 10^{-4}$ |
|---------|--------------------|-----|-------|-----------------------------|
| 16 | RCLA | 49 | 4012 | 19,66 |
| | MSBCLA | 53 | 3812 | 20,20 |
| | SRCLA | 53 | 3844 | 20,37 |
| | 2-Level-Carry-Skip | 55 | 3752 | 20,63 |
| | BCLA | 57 | 3752 | 21,39 |
| | SBCLA | 57 | 3820 | 21,77 |
| | 1-Level-Carry-Skip | 58 | 3692 | 21,41 |
| | Carry-Ripple | 74 | 3676 | 27,20 |
| | Seriell | 91 | 3474 | 31,61 |
| 32 | SRCLA | 101 | 15972 | 161,31 |
| | MSBCLA | 101 | 16012 | 161,72 |
| | RCLA | 109 | 15768 | 171,87 |
| | SBCLA | 109 | 15816 | 172,39 |
| | 2-Level-Carry-Skip | 111 | 15640 | 173,60 |
| | BCLA | 113 | 15668 | 177,05 |
| | 1-Level-Carry-Skip | 114 | 15548 | 177,24 |
| | Carry-Ripple | 154 | 15516 | 238,95 |
| | Seriell | 187 | 15090 | 282,18 |
| 64 | SRCLA | 197 | 64908 | 1278,68 |
| | MSBCLA | 201 | 64444 | 1295,32 |
| | RCLA | 205 | 64276 | 1317,66 |
| | SBCLA | 209 | 64424 | 1346,46 |
| | 2-Level-Carry-Skip | 215 | 64016 | 1376,34 |
| | 1-Level-Carry-Skip | 216 | 63836 | 1378,86 |
| | BCLA | 217 | 64196 | 1393,05 |
| | Carry-Ripple | 314 | 63772 | 2002,24 |
| | Seriell | 379 | 62898 | 2383,83 |

In Array-Multiplizierern wird die Erzeugung der Teilprodukte und ihre Akkumulierung simultan vorgenommen; dadurch entfällt der zweifache Aufwand für die Steuerung separater Einheiten.

Jede Zeile des Array-Multiplizierers berechnet ein neues Teilprodukt (oder einen Ausschnitt daraus) und addiert es zur bisherigen Zwischensumme.

Array-Multiplizierer werden in der Regel in Pipelining-Technik ausgeführt:

Der Abschluss des Array-Multiplizierers durch einen CPA begrenzt den Durchsatz.

Der CPA wird deshalb durch weitere Zeilen ohne Propagierung innerhalb einer Zeile ersetzt.

Für die Realisierung der Zellen der zusätzlichen Zeilen genügen Halbaddierer (statt der Volladdierer in den oberen Zeilen).

Zusätzlich erfordert das Pipelining ein Array von Puffern für die getaktete Weitergabe der Multiplikatorbits und der Produktbits.

Array-Multiplizierer in Pipelining-Technik

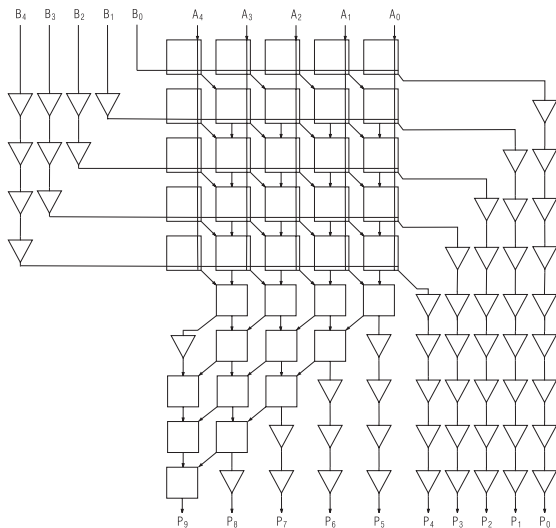
Die oberen und linken Randzellen des rechteckigen Multiplikationsarrays enthalten nur jeweils ein AND-Gatter zur Multiplikation zweier Bits.

Jede andere Zelle der zweiten Zeile beinhaltet zusätzlich einen Halbaddierer.

Jede weitere Zelle des rechteckigen Multiplikationsarrays enthält das AND-Gatter sowie einen Volladdierer.

Jede rechteckige Zelle der linken Spalte des dreieckigen Abschlussarrays enthält ein OR-Gatter zur Addition zweier Bits ohne Übertrag.

Jede weitere rechteckige Zelle des Abschlussarrays enthält einen Halbaddierer.



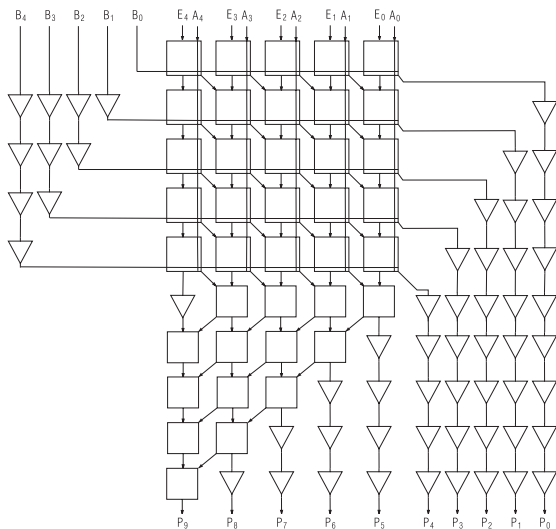
Erweiterung zur Multiply-Add-Einheit

Die oberen und linken Randzellen des rechteckigen Multiplikationsarrays enthalten jeweils ein AND-Gatter zur Multiplikation zweier Bits sowie einen Halbaddierer.

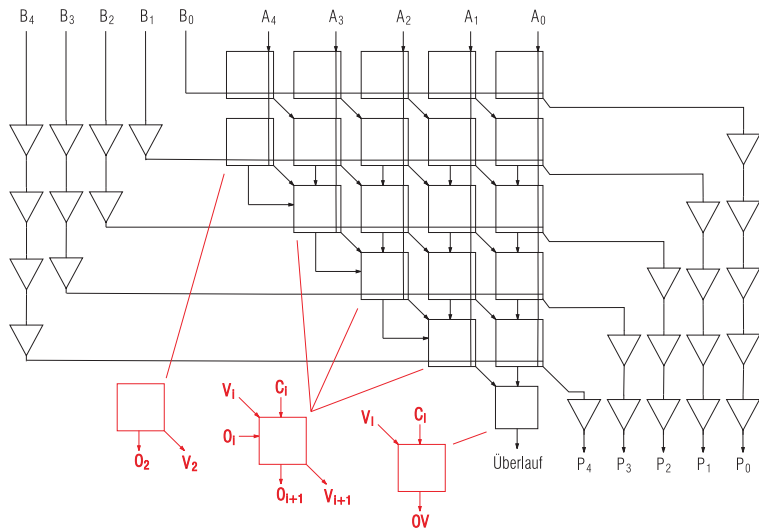
Jede weitere Zelle des rechteckigen Multiplikationsarrays enthält das AND-Gatter sowie einen Volladdierer.

Jede rechteckige Zelle der linken Spalte des dreieckigen Abschlussarrays enthält ein OR-Gatter zur Addition zweier Bits ohne Übertrag.

Jede weitere rechteckige Zelle des Abschlussarrays enthält einen Halbaddierer.



Array-Multiplizierer mit Überlauferkennung



$$O_2 = A_{l-1}$$

$$O_{i+1} = O_i \vee A_{l-i}$$

$$V_2 = A_{l-1} \wedge B_1$$

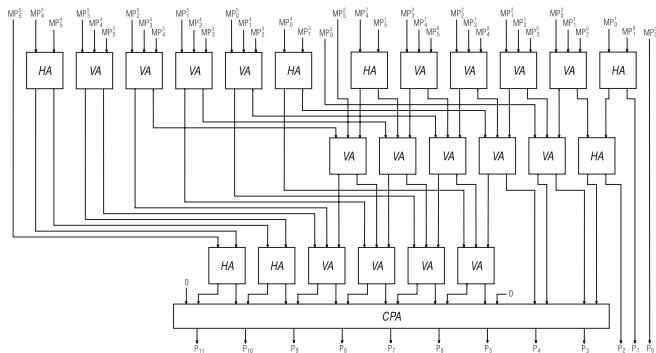
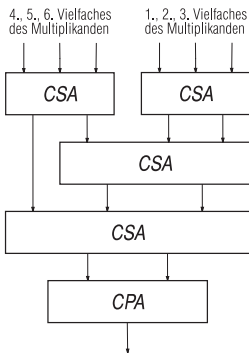
$$V_{i+1} = V_i \vee C_i \vee O_{i+1} \wedge B_i$$

$$OV = V_l \vee C_l$$

Baum-Multiplizierer

Statt einer Kaskade von CSA-Addierern kann auch ein CSA-Baum benutzt werden.

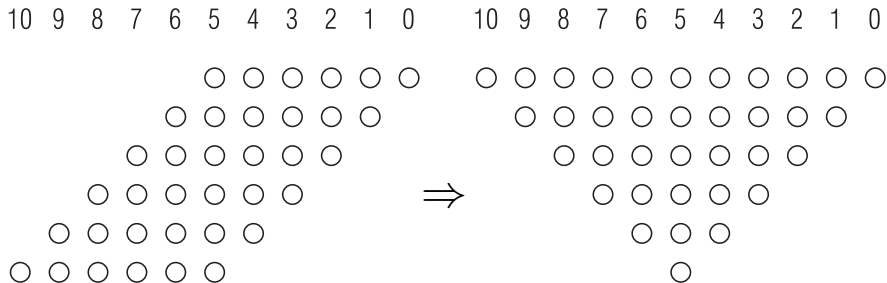
Die Latenz eines Baum-Multiplizierers ist kleiner als die eines Array-Multiplizierers; dies wird durch einen höheren Hardware-Aufwand erkauft (breiterer CPA, irregulärer Aufbau, komplexere Leitungsführung).



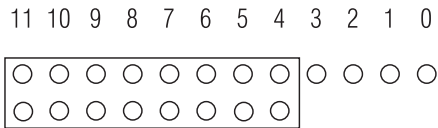
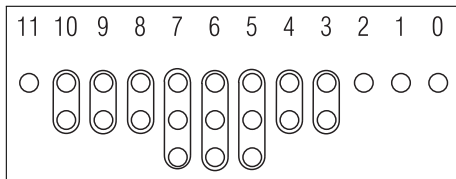
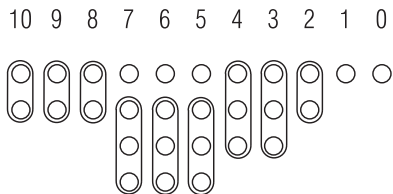
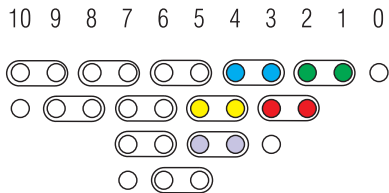
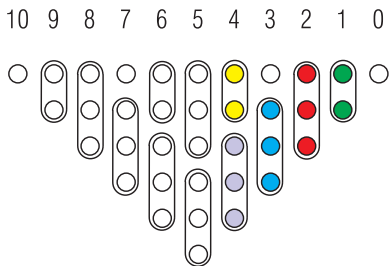
Effiziente Summierung der Teilprodukte

Durch geschickte Beschaltung kann die Anzahl der Volladdierer eines CSA-Baumes zur Summierung der Teilprodukte verringert werden (nicht aber die Anzahl der Stufen). Außerdem können einige Volladdierer durch Halbaddierer ersetzt werden.

Initiales Bitschema für einen (6×6) -Multiplizierer:



Frühestmögliche Reduktion: Wallace-Multiplizierer



Vergleich von Wallace-Multiplizierern

| $l = m$ | CPA | t | a | $a \times t \times 10^{-4}$ |
|---------|--------------------|-----|-------|-----------------------------|
| 16 | RCLA | 25 | 4642 | 11,61 |
| | MSBCLA | 29 | 4442 | 12,88 |
| | SRCLA | 29 | 4472 | 12,97 |
| | 2-Level-Carry-Skip | 31 | 4382 | 13,58 |
| | BCLA | 33 | 4382 | 14,46 |
| | SBCLA | 33 | 4450 | 14,67 |
| | 1-Level-Carry-Skip | 34 | 4322 | 14,69 |
| | Carry-Ripple | 50 | 4306 | 21,53 |
| | Seriell | 67 | 4104 | 27,50 |
| 32 | SRCLA | 32 | 17274 | 55,28 |
| | MSBCLA | 32 | 17314 | 55,40 |
| | RCLA | 38 | 17070 | 64,87 |
| | SBCLA | 40 | 17118 | 68,47 |
| | 2-Level-Carry-Skip | 42 | 16942 | 71,56 |
| | BCLA | 44 | 16970 | 74,67 |
| | 1-Level-Carry-Skip | 45 | 16850 | 75,83 |
| | Carry-Ripple | 85 | 16818 | 142,95 |
| | Seriell | 118 | 16392 | 193,43 |
| 64 | SRCLA | 35 | 67554 | 236,44 |
| | MSBCLA | 39 | 67090 | 261,65 |
| | RCLA | 43 | 66922 | 287,76 |
| | SBCLA | 47 | 67070 | 315,23 |
| | 2-Level-Carry-Skip | 53 | 66662 | 353,30 |
| | 1-Level-Carry-Skip | 54 | 66482 | 359,00 |
| | BCLA | 55 | 66842 | 367,63 |
| | Carry-Ripple | 152 | 66418 | 1009,55 |
| | Seriell | 217 | 65544 | 1422,30 |

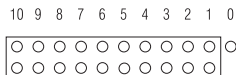
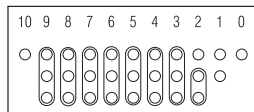
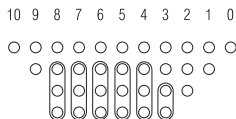
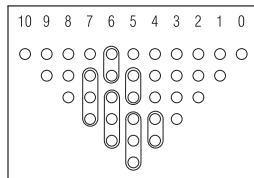
Einsparungen durch verzögerte Reduktion: Dadda-Multiplizierer

Im Dadda-Multiplizierer werden Volladdierer und Halbaddierer so eingesetzt, dass die Anzahl der Ergebnisbits derselben Gewichtung möglichst nahe an den bezüglich der Stufenzahl eines CSA-Baumes optimalen Wert herankommen.

Die Anzahl der Ergebnisbits sollte damit am besten einen der Werte 3, 4, 6, 9, 13, 19, ... annehmen.

Aufwand (ohne CPA) für parallele (6×6)-Multiplizierer:

| | |
|--|------------------|
| Standard-CSA-Baum: | 4×12 VA |
| Zwei niederwertigste Stellen direkt in CPA geleitet: | 4×10 VA |
| Wallace-Multiplizierer (schnellster Multiplizierer): | 16 VA, 13 HA |
| Dadda-Multiplizierer: | 15 VA, 5 HA |
| Optimierter Array-Multiplizierer: | 19 VA, 5 HA |



Summierung von Teilprodukten mit Vorzeichen

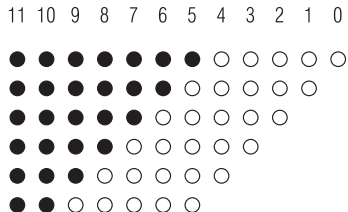
- In Vorzeichen/Betrag-Darstellung läuft eine $(l \times m)$ -Multiplikation praktisch wie eine vorzeichenlose $((l - 1) \times (m - 1))$ -Multiplikation ab.

Das Vorzeichen wird abgetrennt und separat verarbeitet: $P_{n-1} = A_{l-1} \oplus B_{m-1}$

- In 1- oder 2-Komplement-Darstellung müssen negative Teilprodukte vor ihrer Summierung durch Vervielfachung des Vorzeichens auf die Länge des Ergebnisses erweitert werden.

Da es wenig Sinn macht, zur Laufzeit zwischen positiven und negativen Teilprodukten zu unterscheiden, erfolgt die Vorzeichenvervielfachung auch für positive Teilprodukte.

Die Anzahl der zu addierenden Bits steigt hierdurch signifikant an.



Summierung von Teilprodukten in 2-Komplement-Darstellung (Beispiel)

| | | | | | | | | | | | | | |
|-----------|----------|----------|----------|----------|----------|----------|---|---|---|-----------|---|--------------|---------------------------|
| <i>A</i> | | | | | | | 0 | 1 | 0 | 1 | 1 | 0 | Multiplikand 22 |
| <i>B</i> | | | | | | | 0 | 0 | 1 | 0 | 1 | 1 | Multiplikator 11 |
| <i>B'</i> | | | | | | | 0 | 1 | 0 | $\bar{1}$ | 0 | $\bar{1}$ | umcodierter Multiplikator |
| 1 | 1 | 1 | 1 | 1 | 1 | 1 | 0 | 1 | 0 | 1 | 0 | | |
| 0 | 0 | 0 | 0 | 0 | 0 | 0 | 0 | 0 | 0 | 0 | 0 | | |
| 1 | 1 | 1 | 1 | 1 | 0 | 1 | 0 | 1 | 0 | 1 | 0 | | |
| 0 | 0 | 0 | 0 | 0 | 0 | 0 | 0 | 0 | 0 | 0 | 0 | | |
| 0 | 0 | 0 | 1 | 0 | 1 | 1 | 1 | 0 | | | | | |
| 0 | 0 | 0 | 0 | 0 | 0 | 0 | 0 | | | | | | |
| 0 | 0 | 0 | 0 | 1 | 1 | 1 | 1 | 0 | 0 | 1 | 0 | Ergebnis 242 | |

Durch Umcodieren der Teilprodukte kann die Anzahl der zusätzlichen Bits stark verringert werden. Beispielsweise gilt mit beliebigem $S \in \{0, 1\}$:

$$SSSSSSSZ_4Z_3Z_2Z_1Z_0 \equiv 000000\bar{S}Z_4Z_3Z_2Z_1Z_0 \pmod{2^{12}}$$

Durch einen Trick lässt sich die Ziffer \bar{S} ohne Verwendung eines ternären Codes darstellen:

- Komplementieren des Vorzeichenbits S liefert die Ziffer $(1 - S)$, die durch Addieren einer zusätzlichen 1 an der Position des Vorzeichenbits in den Wert $(2 - S)$ überführt wird.
- Der Wert $+2$ kann eine Stelle höher als dieselbe zu addierende 1 für das folgende Teilprodukt interpretiert werden.
- Die gewünschten Ziffern \bar{S} ergeben sich also durch Komplementierung des Vorzeichenbits aller Teilprodukte, Addition einer einzigen 1 an der Position des Vorzeichens des am niedrigsten gewichteten Teilprodukts und Komplementieren des Ergebnisvorzeichenbits.

Das Multiplikationsschema für $\text{UInt}_2(l)$ wird zu einem Multiplikationsschema für $\text{Int}_2(l)$ abgeändert, in dem die negativen Gewichte der beiden Vorzeichenbits berücksichtigt sind.

Darauf werden folgende Regeln zur Vereinfachung systematisch angewandt:

- $-A_{l-1}B_j = A_{l-1}(1 - B_j) - A_{l-1} = A_{l-1}\bar{B}_j - A_{l-1}$.
- $-A_{l-1}$ in Spalte k wird ersetzt durch A_{l-1} in Spalte k und $-A_{l-1}$ in Spalte $k + 1$.
- $-A_{l-1}$ in Spalte $2l - 2$ wird ersetzt durch $\bar{A}_{l-1} - 1$.
- $-A_iB_{l-1} = (1 - A_i)B_{l-1} - B_{l-1} = \bar{A}_iB_{l-1} - B_{l-1}$.
- $-B_{l-1}$ in Spalte k wird ersetzt durch B_{l-1} in Spalte k und $-B_{l-1}$ in Spalte $k + 1$.
- $-B_{l-1}$ in Spalte $2l - 2$ wird ersetzt durch $\bar{B}_{l-1} - 1$.
- -2 in Spalte $2l - 2$ wird ersetzt durch 1 in Spalte $2l - 1$.

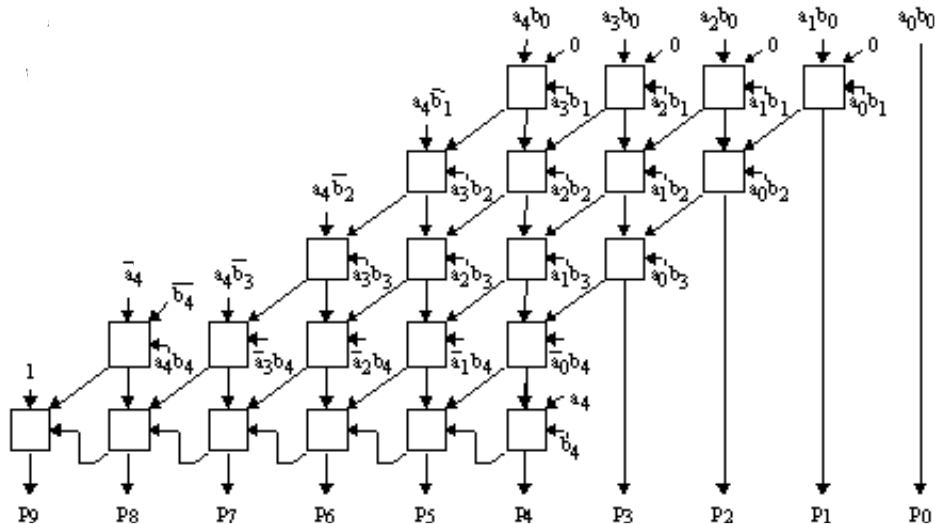
Transformationen im Baugh-Wooley-Multiplizierer

| | | | | | | | | | |
|-------|----------|-----------|-----------|-----------|-----------|----------|----------|----------|----------|
| | | | | | $-A_4$ | A_3 | A_2 | A_1 | A_0 |
| | | | | | $-B_4$ | B_3 | B_2 | B_1 | B_0 |
| | | | | | $-A_4B_0$ | A_3B_0 | A_2B_0 | A_1B_0 | A_0B_0 |
| | | | | $-A_4B_1$ | A_3B_1 | A_2B_1 | A_1B_1 | A_0B_1 | |
| | | | $-A_4B_2$ | A_3B_2 | A_2B_2 | A_1B_2 | A_0B_2 | | |
| | | $-A_4B_3$ | A_3B_3 | A_2B_3 | A_1B_3 | A_0B_3 | | | |
| | A_4B_4 | $-A_3B_4$ | $-A_2B_4$ | $-A_1B_4$ | $-A_0B_4$ | | | | |
| P_9 | P_8 | P_7 | P_6 | P_5 | P_4 | P_3 | P_2 | P_1 | P_0 |

wird transformiert in

| | | | | | | | | | |
|-------|-------------|----------------|----------------|----------------|----------------|----------|----------|----------|----------|
| | | | | | $-A_4$ | A_3 | A_2 | A_1 | A_0 |
| | | | | | $-B_4$ | B_3 | B_2 | B_1 | B_0 |
| | | | | | $A_4\bar{B}_0$ | A_3B_0 | A_2B_0 | A_1B_0 | A_0B_0 |
| | | | | $A_4\bar{B}_1$ | A_3B_1 | A_2B_1 | A_1B_1 | A_0B_1 | |
| | | | $A_4\bar{B}_2$ | A_3B_2 | A_2B_2 | A_1B_2 | A_0B_2 | | |
| | | $A_4\bar{B}_3$ | A_3B_3 | A_2B_3 | A_1B_3 | A_0B_3 | | | |
| | A_4B_4 | \bar{A}_3B_4 | \bar{A}_2B_4 | \bar{A}_1B_4 | \bar{A}_0B_4 | | | | |
| | \bar{A}_4 | | | | A_4 | | | | |
| 1 | \bar{B}_4 | | | | B_4 | | | | |
| P_9 | P_8 | P_7 | P_6 | P_5 | P_4 | P_3 | P_2 | P_1 | P_0 |

Baugh-Wooley-Multiplizierer



In baumartigen Multiplizierern erhöht der Baugh-Wooley-Algorithmus die Anzahl der Einträge in der kritischen Spalte $l - 1$ und damit evtl. die Latenz.

Mit folgenden alternativen Regeln zur Vereinfachung wird dies vermieden:

- $-S = (1 - S) - 1 = \overline{S} - 1$.
- Alle auftretenden Werte von -1 können zusammengefasst und als Einsen in den Spalten l und $2l - 1$ wiedergegeben werden (in denen sie unschädlich sind).

Transformationen im optimierten Baugh-Wooley-Multiplizierer

| | | | | | | | | | |
|-------|----------|-----------|-----------|-----------|-----------|----------|----------|----------|----------|
| | | | | | $-A_4$ | A_3 | A_2 | A_1 | A_0 |
| | | | | \times | $-B_4$ | B_3 | B_2 | B_1 | B_0 |
| | | | | | $-A_4B_0$ | A_3B_0 | A_2B_0 | A_1B_0 | A_0B_0 |
| | | | | $-A_4B_1$ | A_3B_1 | A_2B_1 | A_1B_1 | A_0B_1 | |
| | | | $-A_4B_2$ | A_3B_2 | A_2B_2 | A_1B_2 | A_0B_2 | | |
| | | $-A_4B_3$ | A_3B_3 | A_2B_3 | A_1B_3 | A_0B_3 | | | |
| | A_4B_4 | $-A_3B_4$ | $-A_2B_4$ | $-A_1B_4$ | $-A_0B_4$ | | | | |
| P_9 | P_8 | P_7 | P_6 | P_5 | P_4 | P_3 | P_2 | P_1 | P_0 |

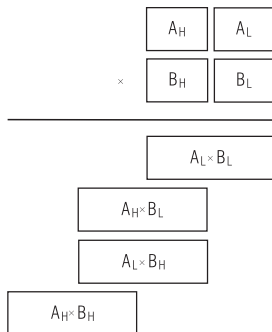
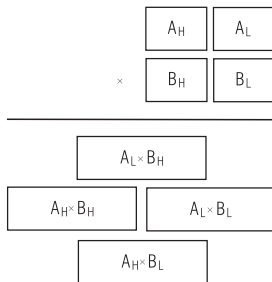
wird transformiert in

| | | | | | | | | | |
|-------|----------|---------------------|---------------------|---------------------|---------------------|----------|----------|----------|----------|
| | | | | | $-A_4$ | A_3 | A_2 | A_1 | A_0 |
| | | | | \times | $-B_4$ | B_3 | B_2 | B_1 | B_0 |
| 1 | | | | 1 | $\overline{A_4B_0}$ | A_3B_0 | A_2B_0 | A_1B_0 | A_0B_0 |
| | | | | $\overline{A_4B_1}$ | A_3B_1 | A_2B_1 | A_1B_1 | A_0B_1 | |
| | | | $\overline{A_4B_2}$ | A_3B_2 | A_2B_2 | A_1B_2 | A_0B_2 | | |
| | | $\overline{A_4B_3}$ | A_3B_3 | A_2B_3 | A_1B_3 | A_0B_3 | | | |
| | A_4B_4 | $\overline{A_3B_4}$ | $\overline{A_2B_4}$ | $\overline{A_1B_4}$ | $\overline{A_0B_4}$ | | | | |
| P_9 | P_8 | P_7 | P_6 | P_5 | P_4 | P_3 | P_2 | P_1 | P_0 |

Rekursiver Aufbau großer Multiplizierer

Ein $(2n \times 2n)$ -Multiplizierer kann aus vier $(n \times n)$ -Multiplizierern aufgebaut werden:

$$\begin{aligned} A \times B &= (A_H \times 2^n + A_L) \times (B_H \times 2^n + B_L) \\ &= A_H \times B_H \times 2^{2n} \\ &\quad + (A_H \times B_L + A_L \times B_H) \times 2^n \\ &\quad + A_L \times B_L \end{aligned}$$

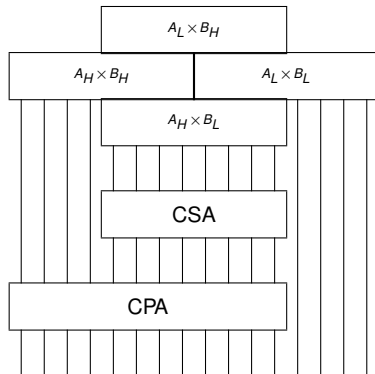


Optimierung durch Umordnung der Teilprodukte:

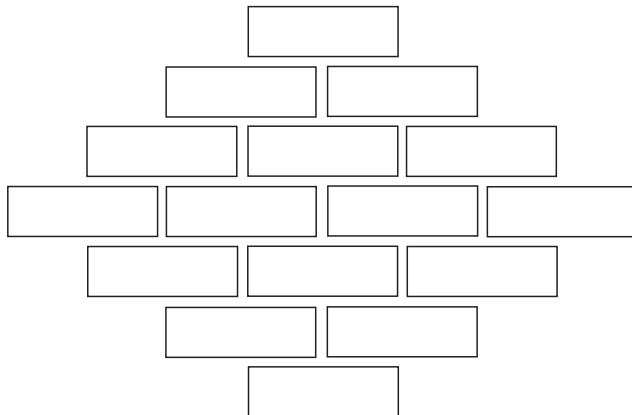
- Minimale Anzahl von Addierern.
- Möglichst kurze Dauer der Summation.

Detailaufbau des $(2n \times 2n)$ -Multiplizierers

Benötigt werden vier $(n \times n)$ -Multiplizierer, ein $2n$ -Bit CSA und ein $3n$ -Bit CPA:



Additionsschema für einen $(4n \times 4n)$ -Multiplizierer

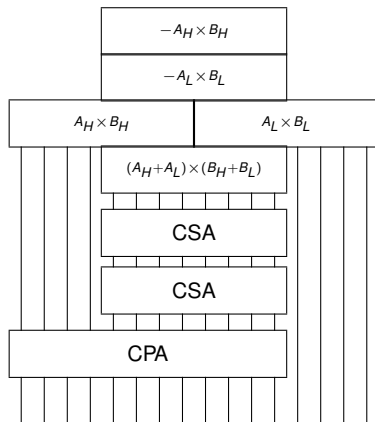


Unter Benutzung einer Idee von Karatsuba (1962; beschrieben z. B. in: Aho, Hopcroft, Ullman, The design and analysis of computer algorithms, 1974) kann ein $(2n \times 2n)$ -Multiplizierer aus nur drei $(n \times n)$ -Multiplizierern aufgebaut werden:

$$\begin{aligned}A \times B &= (A_H \times 2^n + A_L) \times (B_H \times 2^n + B_L) \\&= A_H \times B_H \times 2^{2n} + (A_H \times B_L + A_L \times B_H) \times 2^n + A_L \times B_L \\&= A_H \times B_H \times 2^{2n} \\&\quad + ((A_H + A_L) \times (B_H + B_L) - A_H \times B_H - A_L \times B_L) \times 2^n \\&\quad + A_L \times B_L\end{aligned}$$

Sparsamer $(2n \times 2n)$ -Multiplizierer

Benötigt werden zwei $(n \times n)$ -Multiplizierer, ein $((n + 1) \times (n + 1))$ -Multiplizierer, zwei $(2n + 2)$ -Bit CSA, ein $3n$ -Bit CPA und zwei n -Bit CPA:



Das Quadrieren von A ist im Prinzip durch eine Multiplikation $A \times A$ möglich.
Ein spezieller Quadrierer ist aber schneller (und einfacher) als ein allgemeiner Multiplizierer.

Auf das allgemeine Spaltenschema der Teilprodukte einer Multiplikation können beim Quadrieren folgende Regeln zur Vereinfachung systematisch angewandt werden:

- $A_i A_i = A_i$
- Ein Paar von Termen $A_i A_j$ und $A_j A_i$ in einer Spalte kann ersetzt werden durch den Term $A_i A_j$ (oder $A_j A_i$) in der nächsthöheren Spalte.

Es ist in der Zahlentheorie wohlbekannt, dass $(A^2 \bmod 4) = (A \bmod 2)$. Systematische Reduktion des Spaltenschemas reproduziert unter anderem diesen nützlichen Zusammenhang!

Abhängig von der Länge des Operanden und den spezifischen Optimierungszielen können, obgleich weniger systematisch, weitere Reduktionsschritte erfolgen.

Beispiel: Quadrieren von $A = A_4 A_3 A_2 A_1 A_0 \in \text{UInt}_2(5)$.

Quadrierer (1. Reduktionsschritt, systematisch)

| | | | | | | | | | | |
|-------|----------|----------|----------|----------|----------|----------|----------|----------|----------|----------|
| | | | | | | A_4 | A_3 | A_2 | A_1 | A_0 |
| | | | | | \times | A_4 | A_3 | A_2 | A_1 | A_0 |
| | | | | | | A_4A_0 | A_3A_0 | A_2A_0 | A_1A_0 | A_0A_0 |
| | | | | A_4A_1 | | A_3A_1 | A_2A_1 | A_1A_1 | A_0A_1 | |
| | | | A_4A_2 | A_3A_2 | | A_2A_2 | A_1A_2 | A_0A_2 | | |
| | | A_4A_3 | A_3A_3 | A_2A_3 | | A_1A_3 | A_0A_3 | | | |
| | A_4A_4 | A_3A_4 | A_2A_4 | A_1A_4 | | A_0A_4 | | | | |
| P_9 | P_8 | P_7 | P_6 | P_5 | P_4 | P_3 | P_2 | P_1 | P_0 | |

wird reduziert zu

| | | | | | | | | | | |
|-------|----------|----------|----------|----------|----------|----------|----------|----------|-------|-------|
| | | | | | | A_4 | A_3 | A_2 | A_1 | A_0 |
| | | | | | \times | A_4 | A_3 | A_2 | A_1 | A_0 |
| | A_4A_3 | A_4A_2 | A_4A_1 | A_4A_0 | | A_3A_0 | A_2A_0 | A_1A_0 | | A_0 |
| | A_4 | | A_3A_2 | A_3A_1 | | A_2A_1 | | A_1 | | |
| | | | A_3 | | | A_2 | | | | |
| P_9 | P_8 | P_7 | P_6 | P_5 | P_4 | P_3 | P_2 | 0 | P_0 | |

Quadrierer (2. Reduktionsschritt, sporadisch)

| | | | | | | | | | |
|-------|-----------|-----------|-----------|-----------|-----------|-----------|-----------|-------|-------|
| | | | | | A_4 | A_3 | A_2 | A_1 | A_0 |
| | | | \times | | A_4 | A_3 | A_2 | A_1 | A_0 |
| | $A_4 A_3$ | $A_4 A_2$ | $A_4 A_1$ | $A_4 A_0$ | $A_3 A_0$ | $A_2 A_0$ | $A_1 A_0$ | | A_0 |
| | A_4 | | $A_3 A_2$ | $A_3 A_1$ | $A_2 A_1$ | | A_1 | | |
| | | | A_3 | | A_2 | | | | |
| P_9 | P_8 | P_7 | P_6 | P_5 | P_4 | P_3 | P_2 | 0 | A_0 |

ergibt mit $A_1 A_0 + A_1 = 2A_1 A_0 + A_1(1 - A_0) = 2A_1 A_0 + A_1 \bar{A}_0$

| | | | | | | | | | |
|-------|-----------|-----------|-----------|-----------|-----------|-----------|-----------------|-------|-------|
| | | | | | A_4 | A_3 | A_2 | A_1 | A_0 |
| | | | \times | | A_4 | A_3 | A_2 | A_1 | A_0 |
| | $A_4 A_3$ | $A_4 A_2$ | $A_4 A_1$ | $A_4 A_0$ | $A_3 A_0$ | $A_2 A_0$ | $A_1 \bar{A}_0$ | | A_0 |
| | A_4 | | $A_3 A_2$ | $A_3 A_1$ | $A_2 A_1$ | $A_1 A_0$ | | | |
| | | | A_3 | | A_2 | | | | |
| P_9 | P_8 | P_7 | P_6 | P_5 | P_4 | P_3 | $A_1 \bar{A}_0$ | 0 | A_0 |

Potenzierung $P = A^k$ mit $k \in \mathbb{N}$ kann als Spezialfall einer Serie von Multiplikationen aufgefasst werden.

Mit $k = \sum_{i=0}^{j-1} k_i \times 2^i$ in kanonischer

Binärdarstellung und den Hilfsgrößen $H^{(i)} = A^{2^i}$ für $i = 0, \dots, j-1$ gilt $A^k = \prod \{H^{(i)} : k_i = 1\}$.

Die $H^{(i)}$ berechnen sich nach den Formeln
 $H^{(0)} = A, H^{(i+1)} = H^{(i)} \times H^{(i)}$.

Der Iterationsprozess verläuft über
 $P^{(0)} = 1, P^{(i+1)} = P^{(i)} \times (H^{(i)})^{k_i}, P = P^{(j)}$.

Die $P^{(i)}$ können mit einem Multiplizierer,
die $H^{(i)}$ mit einem Quadrierer berechnet werden.

| i | k | k_i | $H^{(i)}$ | $P^{(i)}$ |
|-----|---------|-------|-----------|-----------|
| 0 | 1010111 | 1 | A | 1 |
| 1 | 1010111 | 1 | A^2 | A |
| 2 | 1010111 | 1 | A^4 | A^3 |
| 3 | 1010111 | 0 | A^8 | A^7 |
| 4 | 1010111 | 1 | A^{16} | A^7 |
| 5 | 1010111 | 0 | A^{32} | A^{23} |
| 6 | 1010111 | 1 | A^{64} | A^{23} |
| 7 | 1010111 | | A^{128} | A^{87} |

Die Schaltfunktion eines Multiplizierers kann auch durch ein ROM realisiert werden.

Dabei wird die Konkatenation der beiden Operanden als Adresse verwendet.

Zur vorzeichenlosen Multiplikation wird ein ROM der Größe $2^{l+m} \times (l + m - 1)$ benötigt (das niederwertigste Bit ergibt sich direkt aus $P_0 = A_0 B_0$).

Für große Operandenlängen scheidet das Verfahren damit als zu aufwendig aus.

Ein rekursiv aufgebauter Multiplizierer kann aber mit kleinen Tabellen-Multiplizierern arbeiten.

Ein ROM zur Quadrierung in $\text{UInt}_2(l)$ hat dagegen nur die Größe $2^l \times (2l - 2)$ und lässt sich damit leichter realisieren (Reduzierung auf $2^l \times (2l - 3)$ Bit möglich).

Realisierung eines Multiplizierers in $\text{UInt}_2(l)$ durch einen Quadrierer

Angangspunkt: $4 \times A \times B = (A + B)^2 - (A - B)^2$ nach Vorsortierung $A \geq B$.

Die beiden niederwertigsten Bits der Quadrate sind irrelevant (stimmen überein).

Erforderlich ist ein Quadrierer für Operanden in $\text{UInt}_2(l + 1)$.

Bei Auslegung als Tabellenquadrierer sind dazu $2 \times l \times 2^{l+1}$ Bit Speicherplatz nötig.

Bei Parallelberechnung beider Quadrate wird zusätzlich ein Quadrierer in $\text{UInt}_2(l)$ benötigt.

Optimierung:

$$A \times B = \begin{cases} ((A + B)/2)^2 - ((A - B)/2)^2 & \text{für gerades } A + B, \\ ((A - 1 + B)/2)^2 - ((A - 1 - B)/2)^2 + B & \text{sonst.} \end{cases}$$

Nun ist nur noch ein Quadrierer in $\text{UInt}_2(l)$ nötig.

Allerdings muss halbiert werden (Rechtsverschiebung),
eine Fallunterscheidung ist nötig (Prüfbit fällt bei der Rechtsverschiebung ab)
und es wird ggf. zusätzlich addiert.

Beispiel (ohne Parallelität): Zur Berechnung von 16-Bit-Produkten aus 8-Bit-Operanden genügt eine Wertetabelle mit 1024 Byte (512 Byte in optimierter Ausführung).